

FIG. 1A
(PRIOR ART)

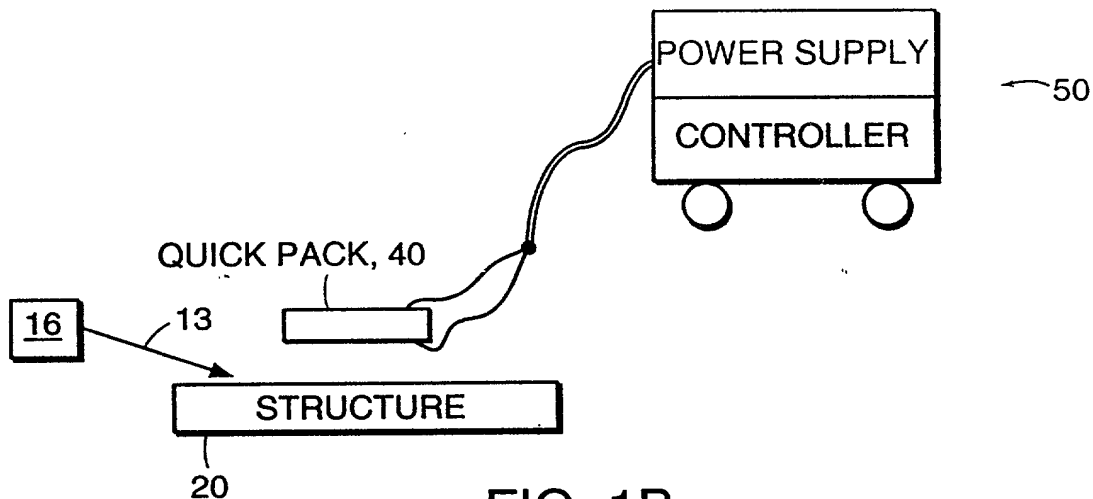


FIG. 1B

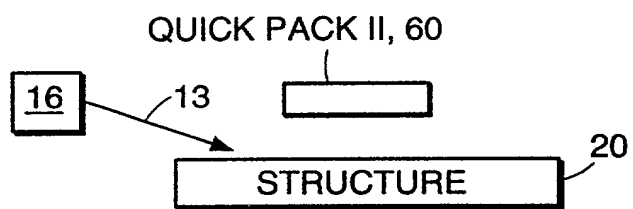


FIG. 1C

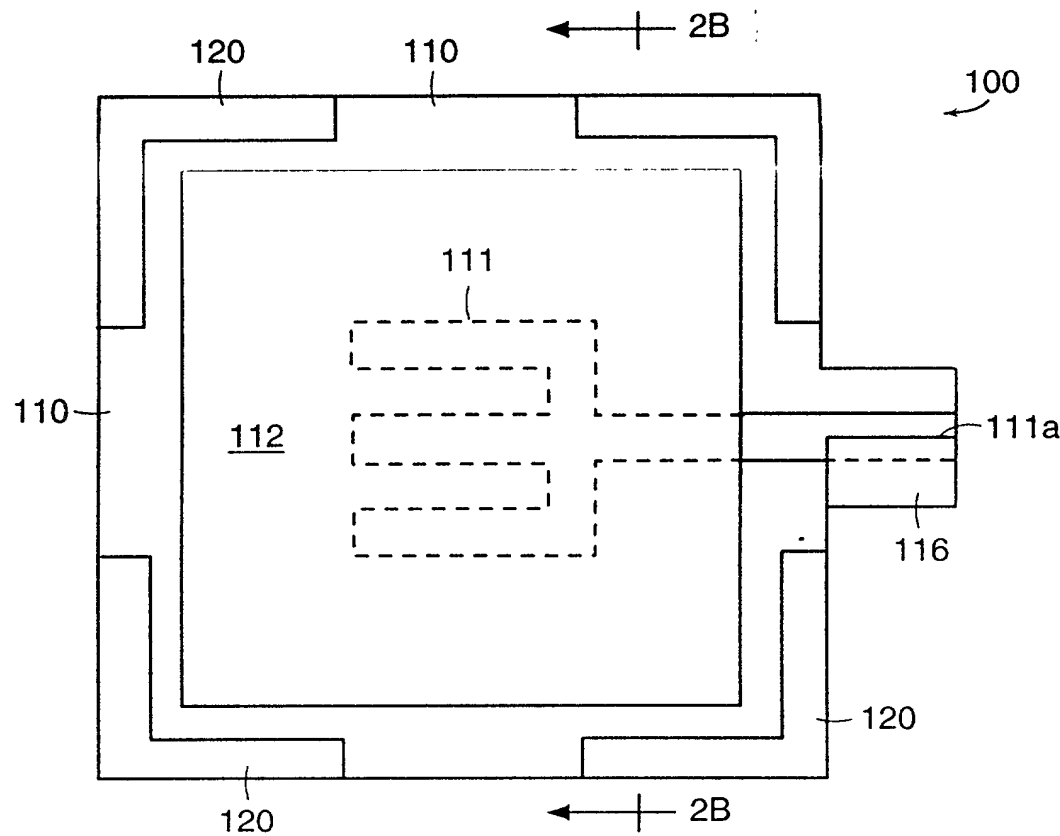


FIG. 2A

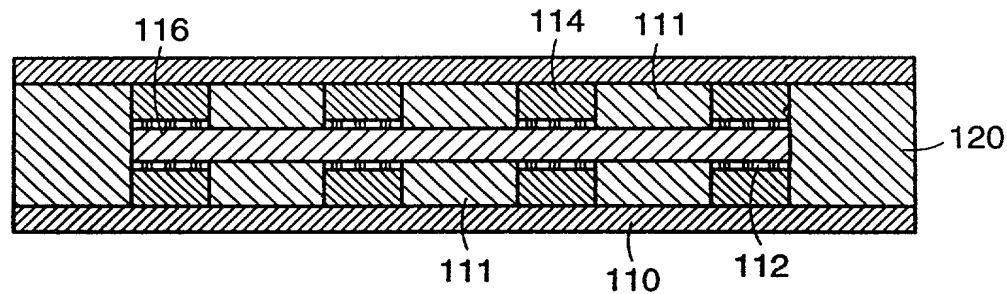


FIG. 2B

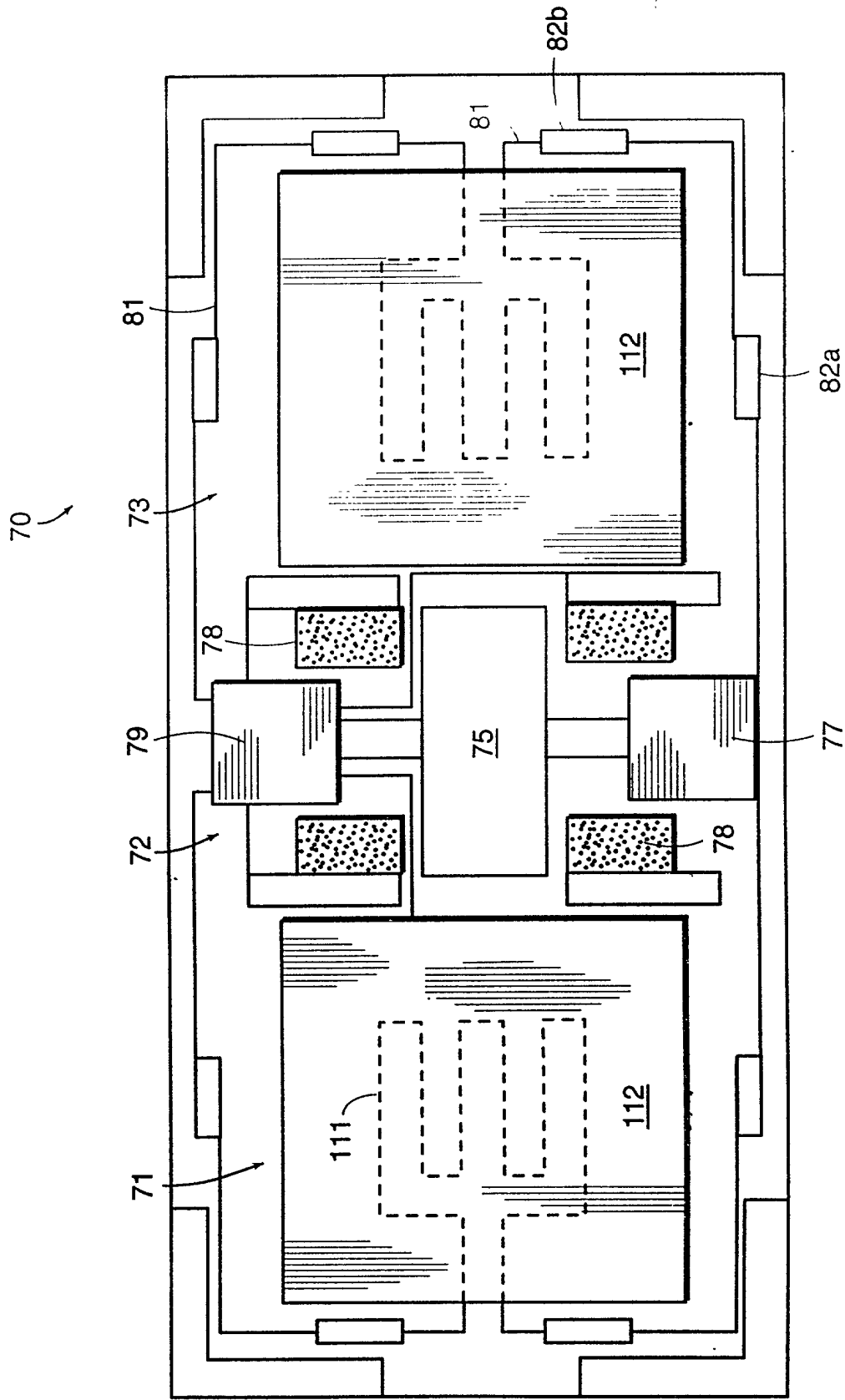


FIG. 2C

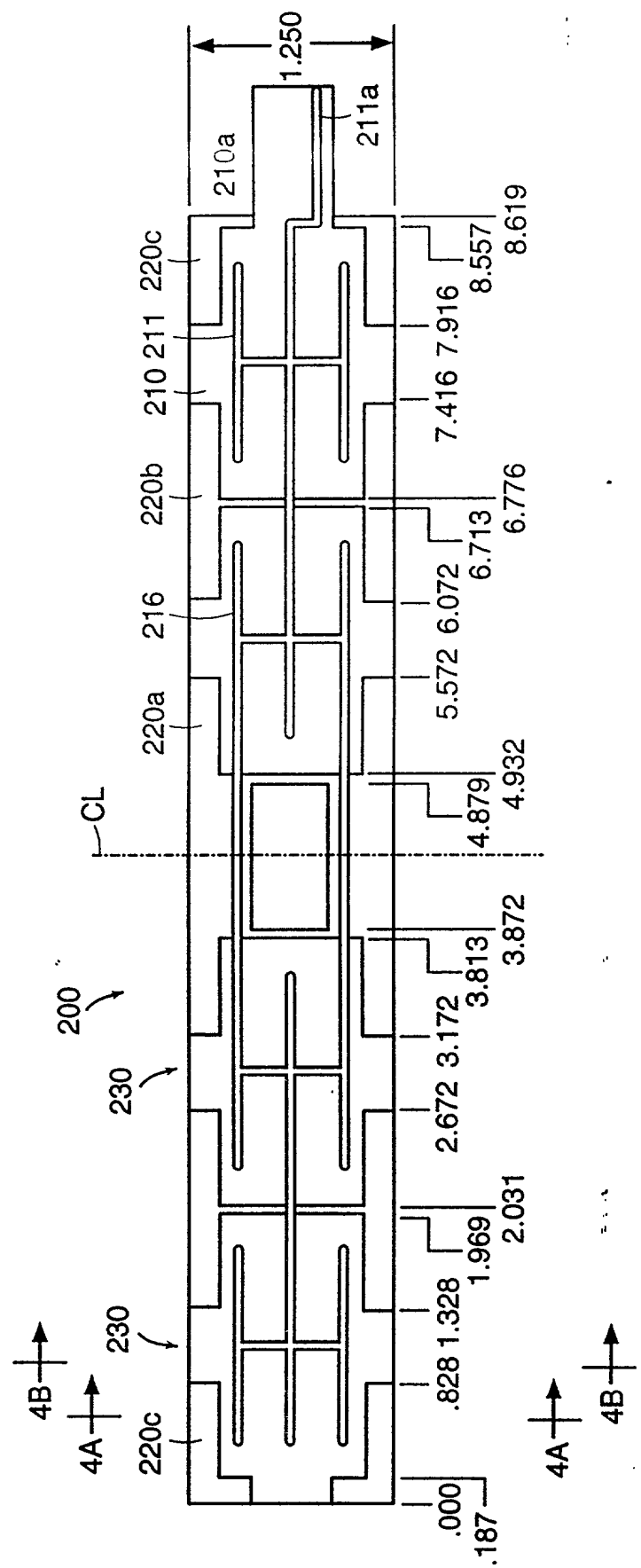


FIG. 3

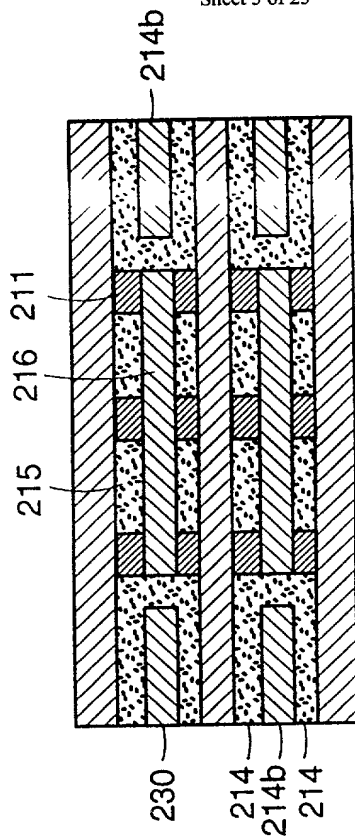


FIG. 4B

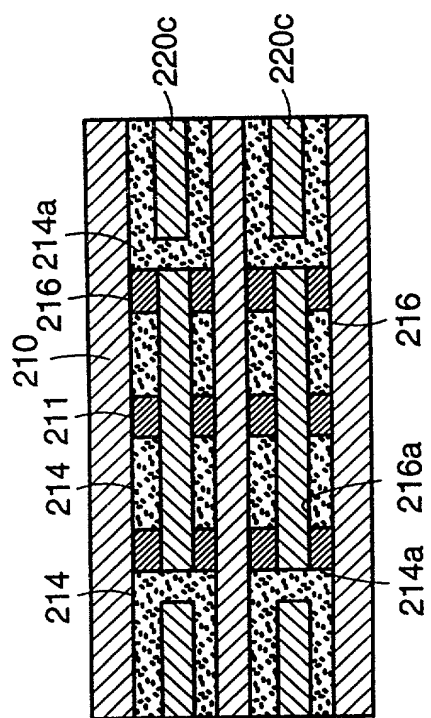


FIG. 4A

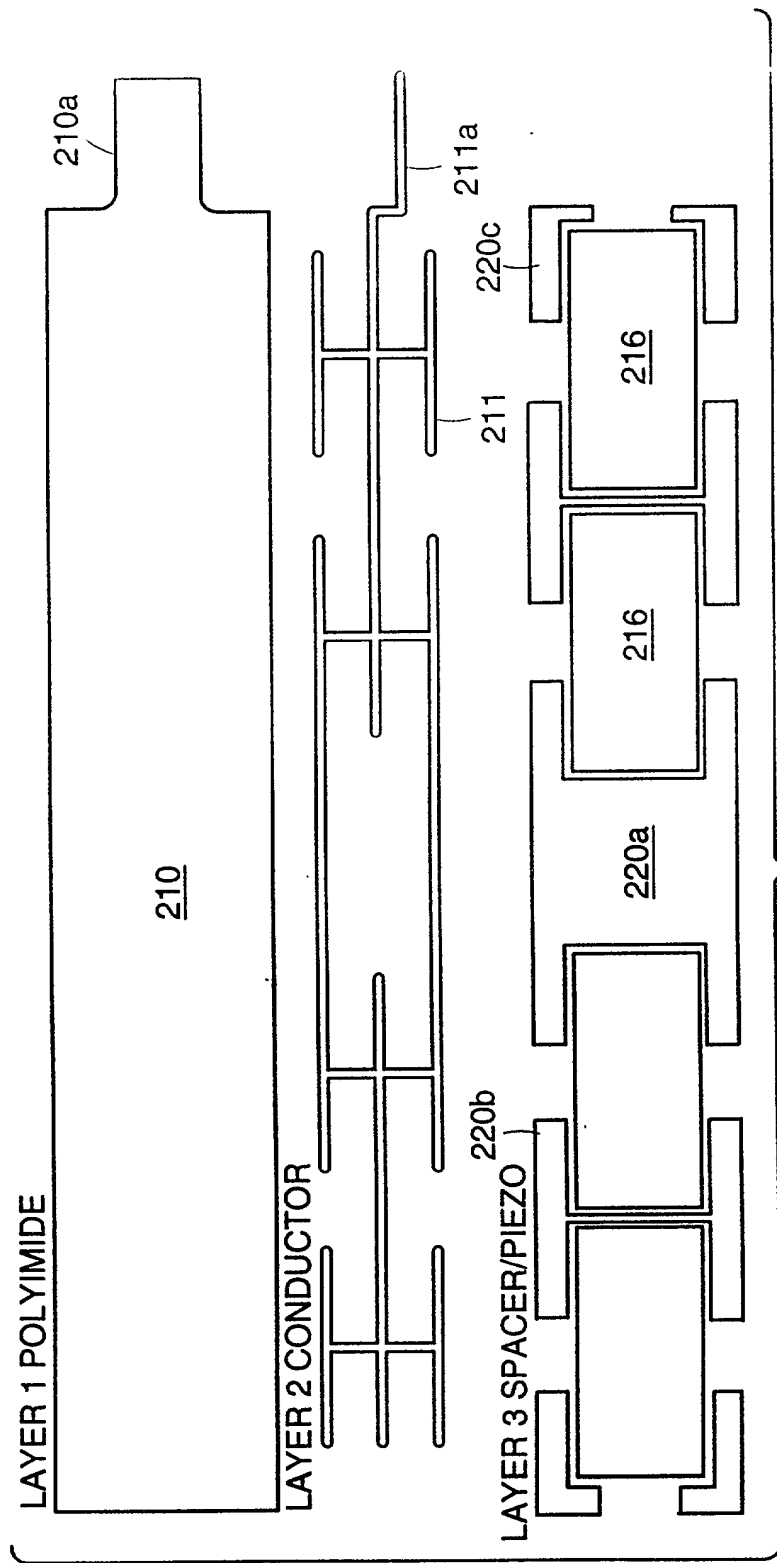


FIG. 5

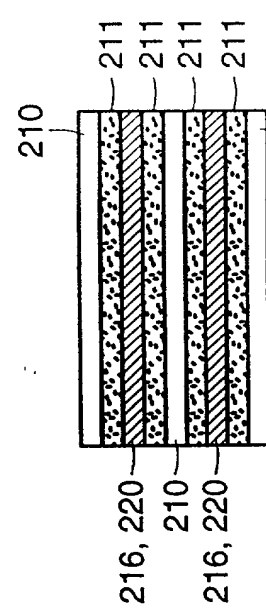


FIG. 5A

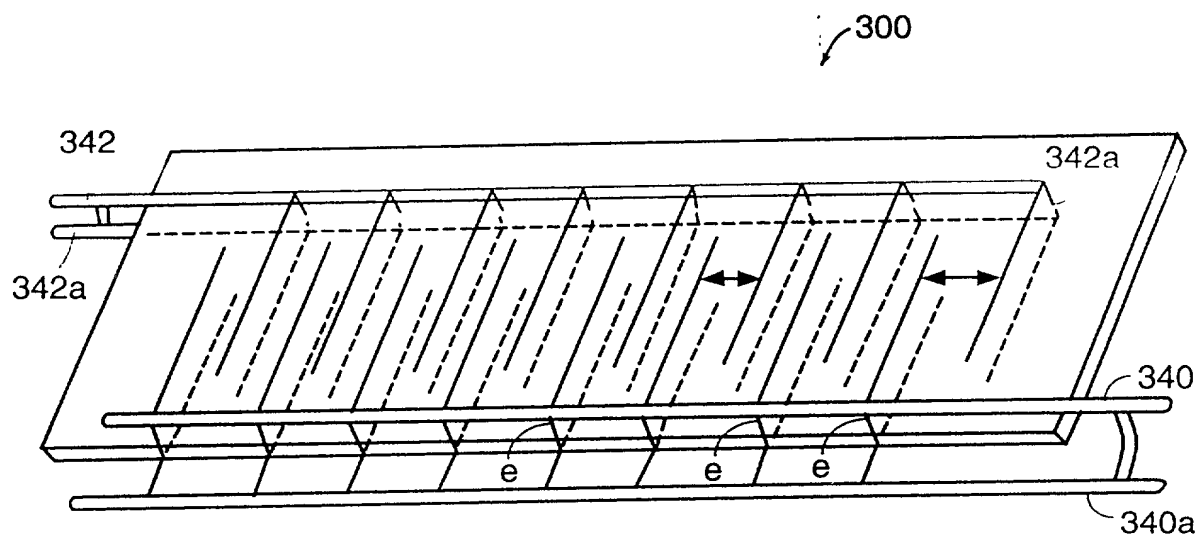


FIG. 6

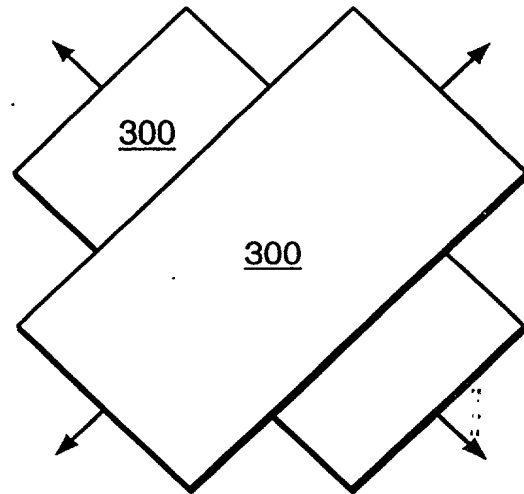


FIG. 7

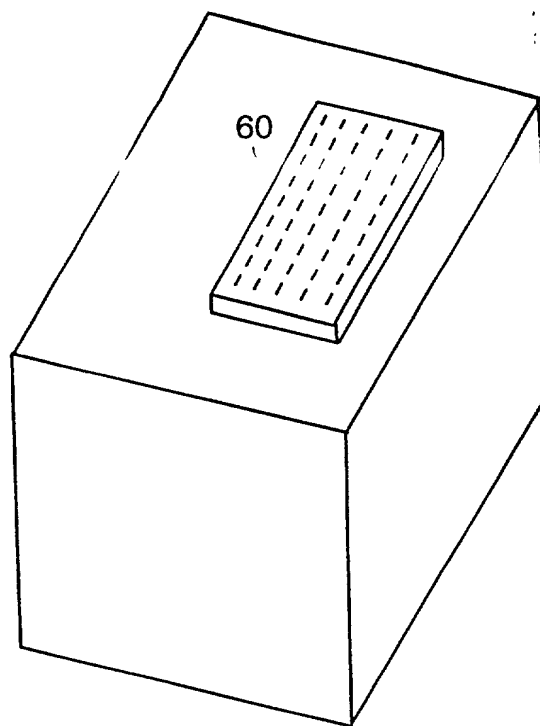


FIG. 8A

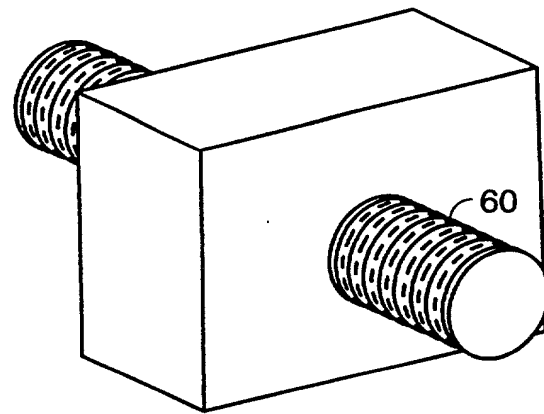


FIG. 8B

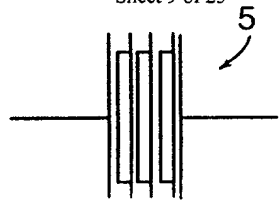


FIG. 9A

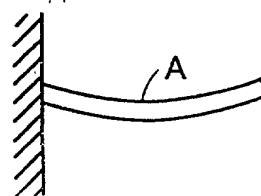


FIG. 9B



FIG. 9C

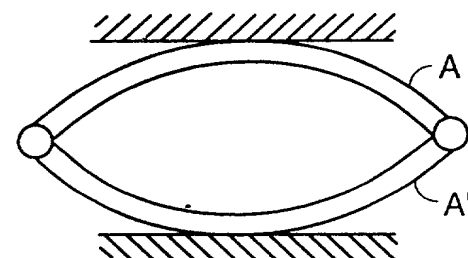


FIG. 9D

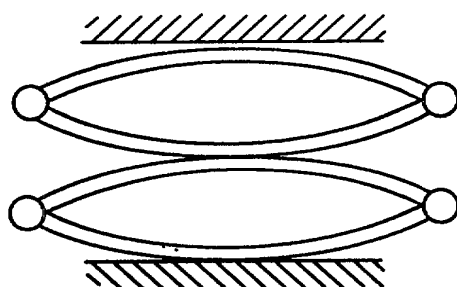


FIG. 9E

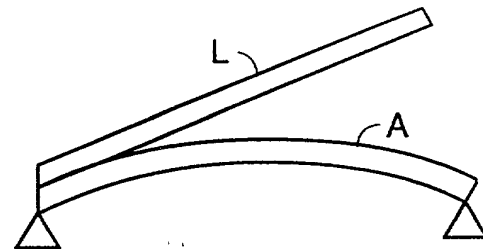


FIG. 9F

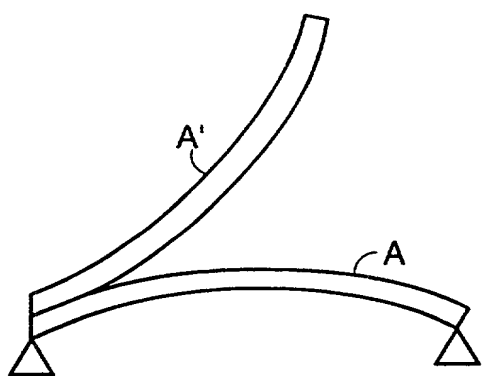


FIG. 9G

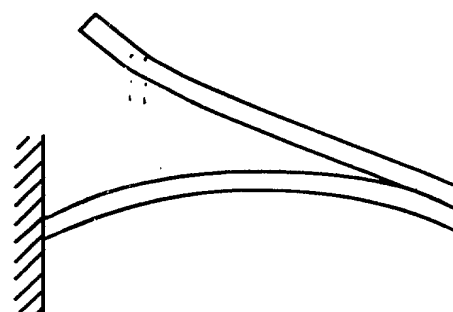


FIG. 9H

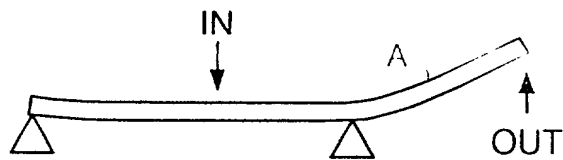


FIG. 9I

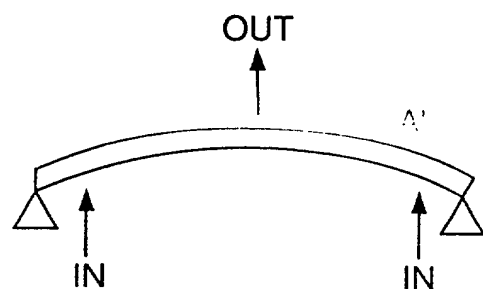


FIG. 9J

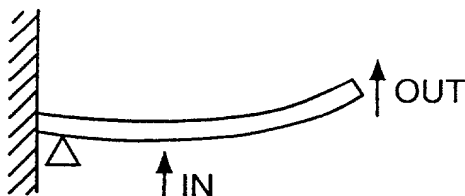


FIG. 9K

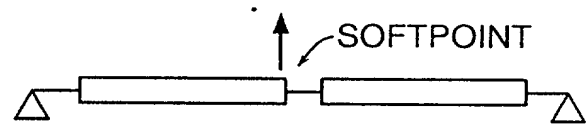


FIG. 9L

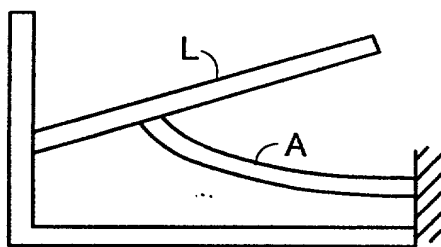


FIG. 9M

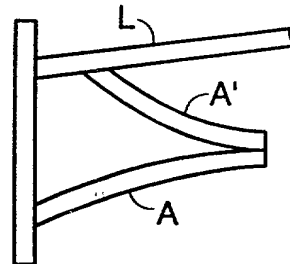


FIG. 9N

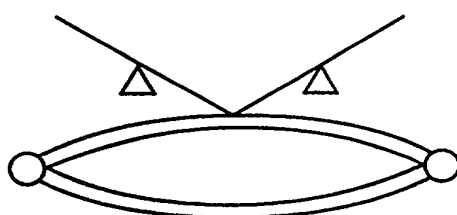


FIG. 9O

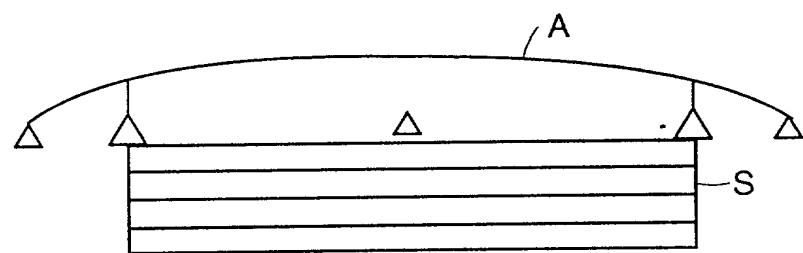


FIG. 9P

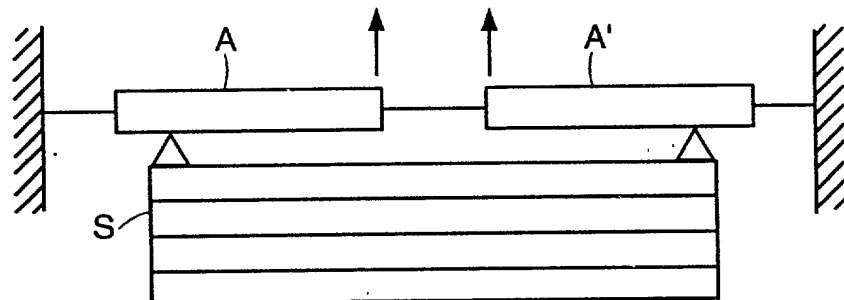


FIG. 9Q

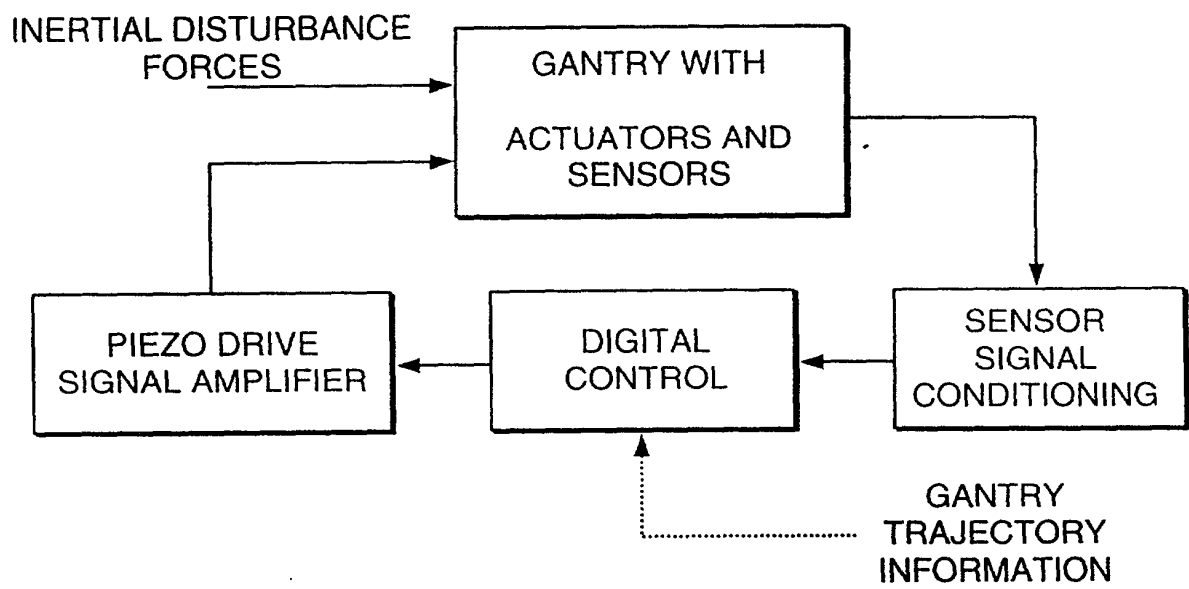


FIG. 10

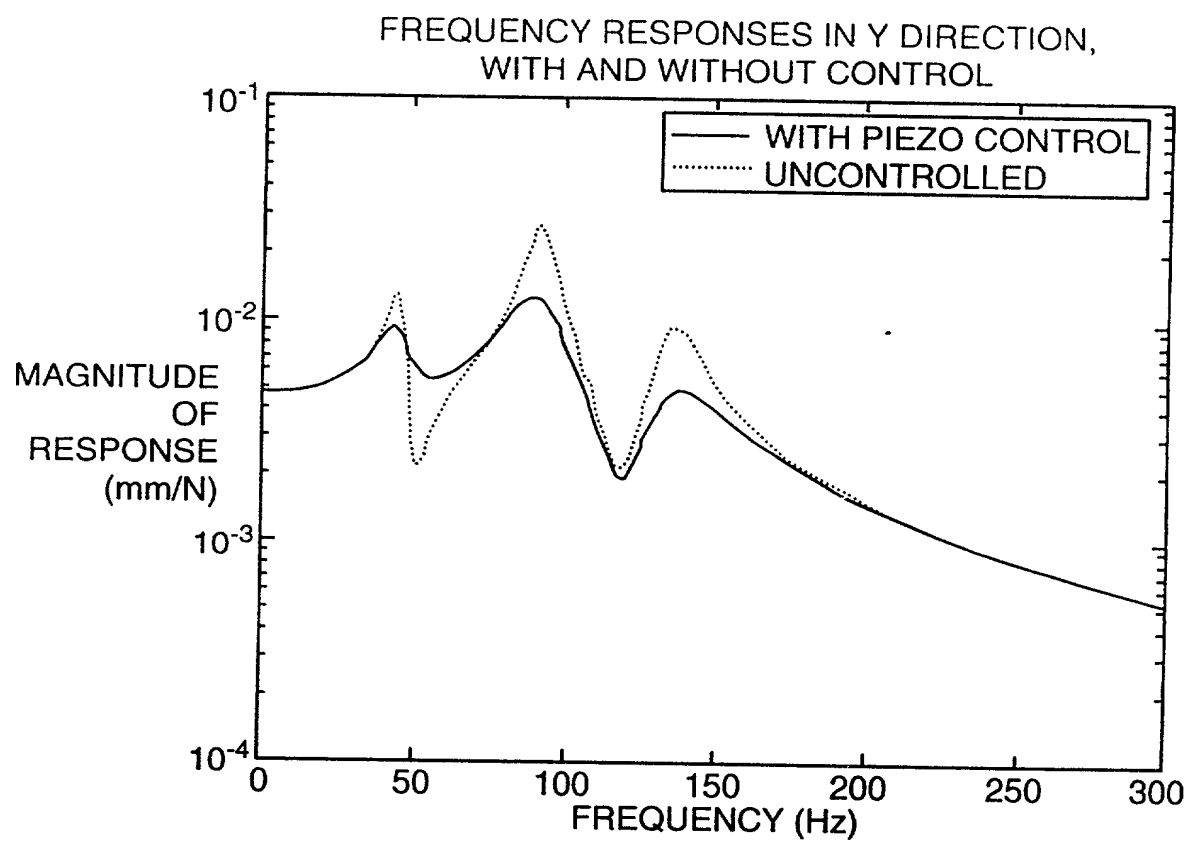


FIG. 11

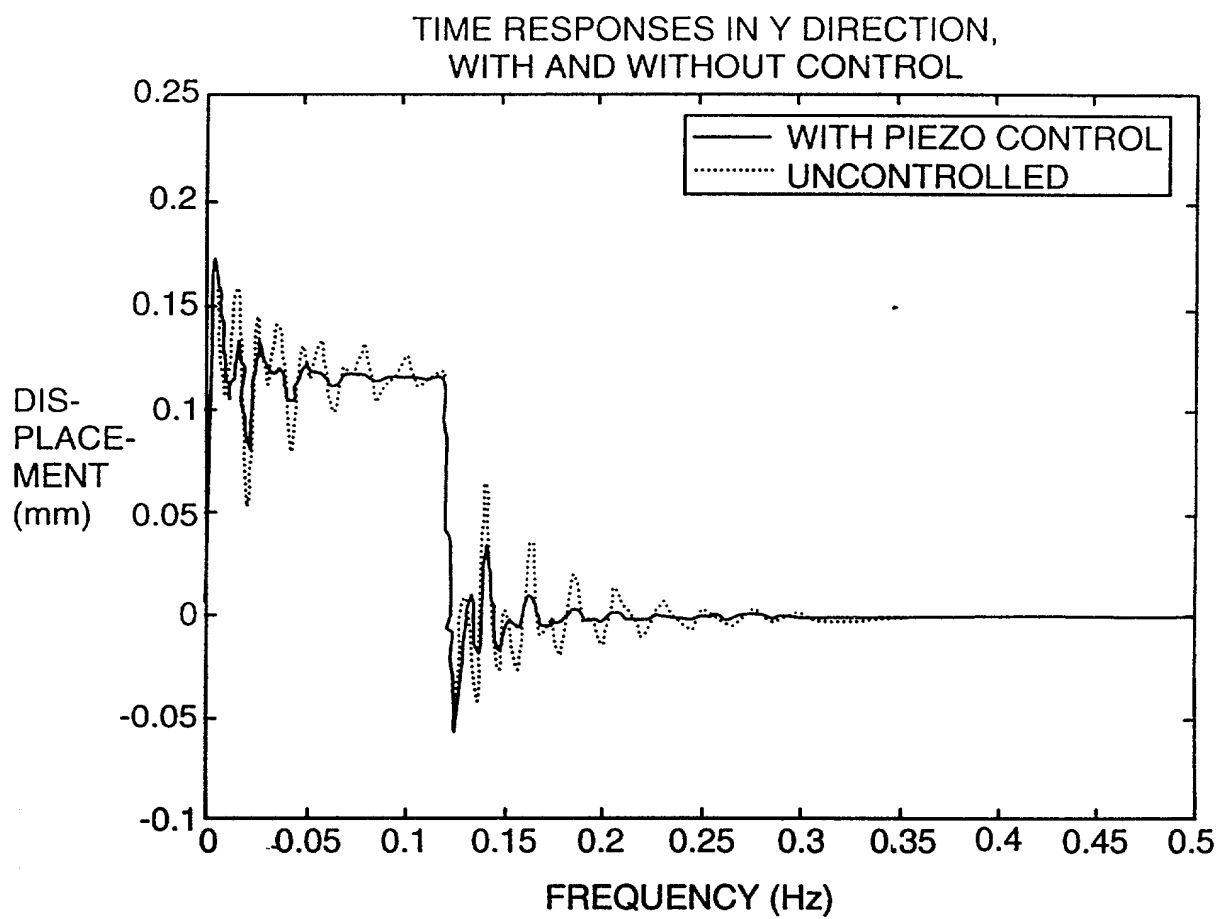


FIG. 12

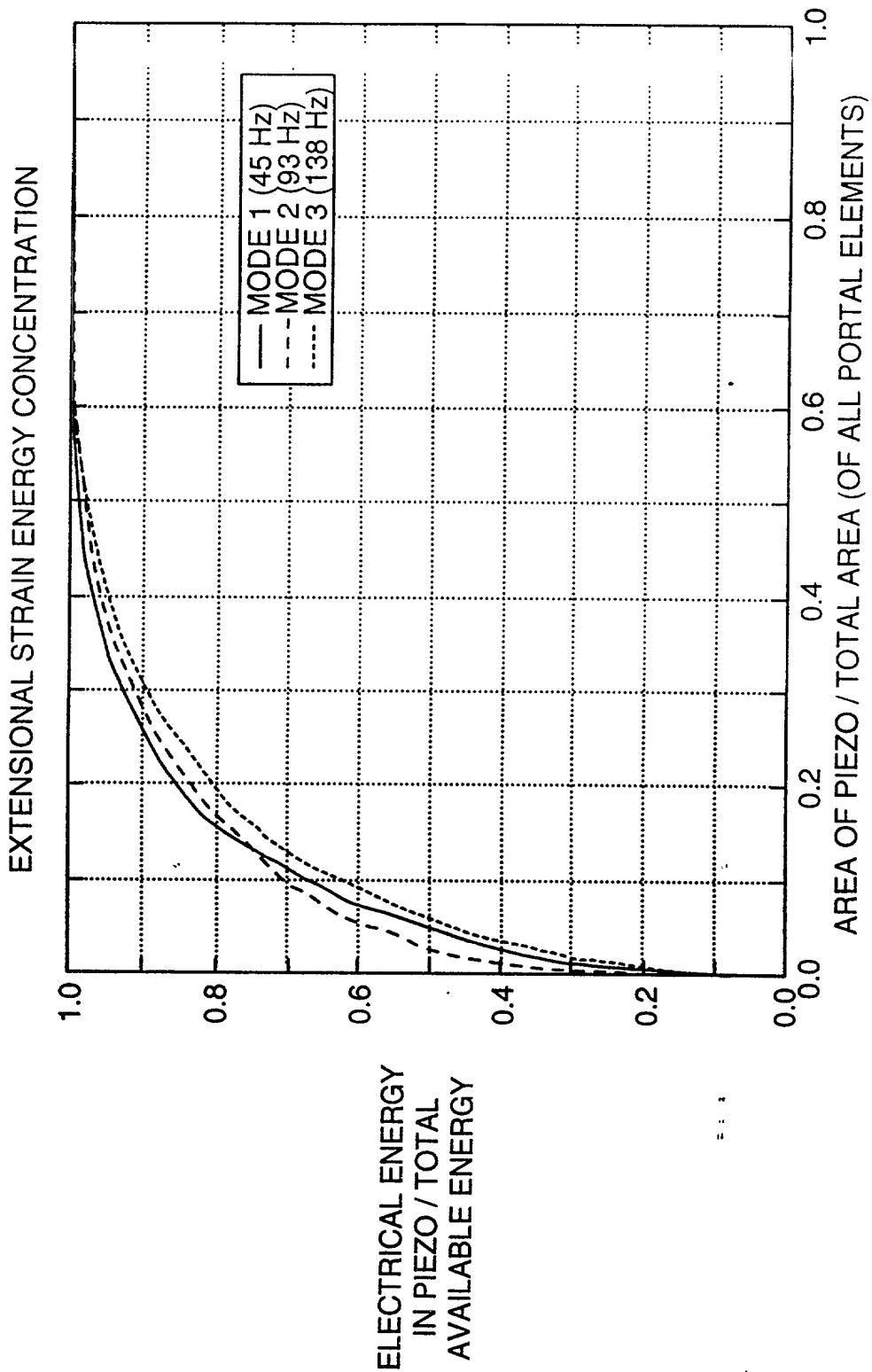


FIG. 13

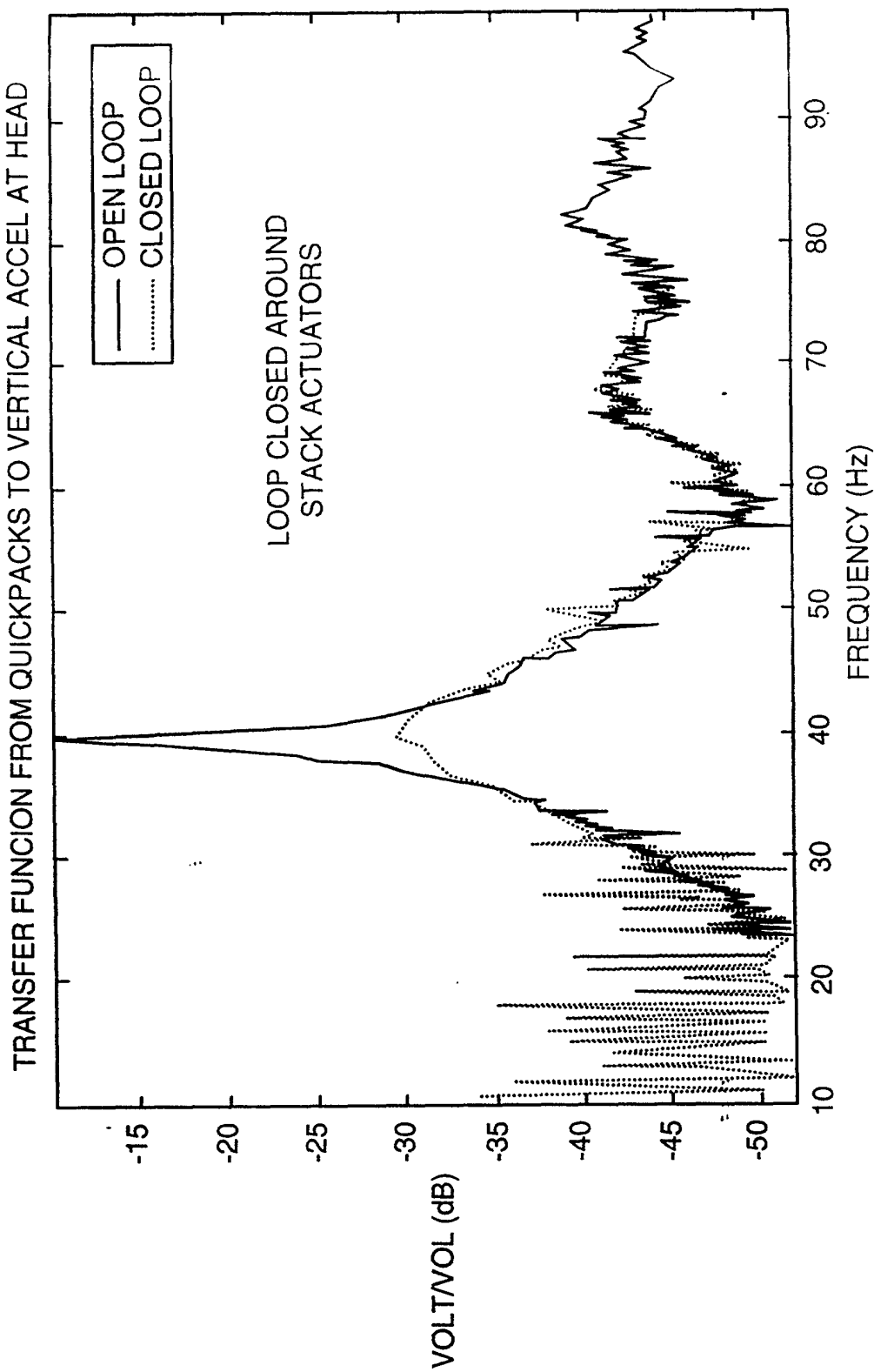


FIG. 14

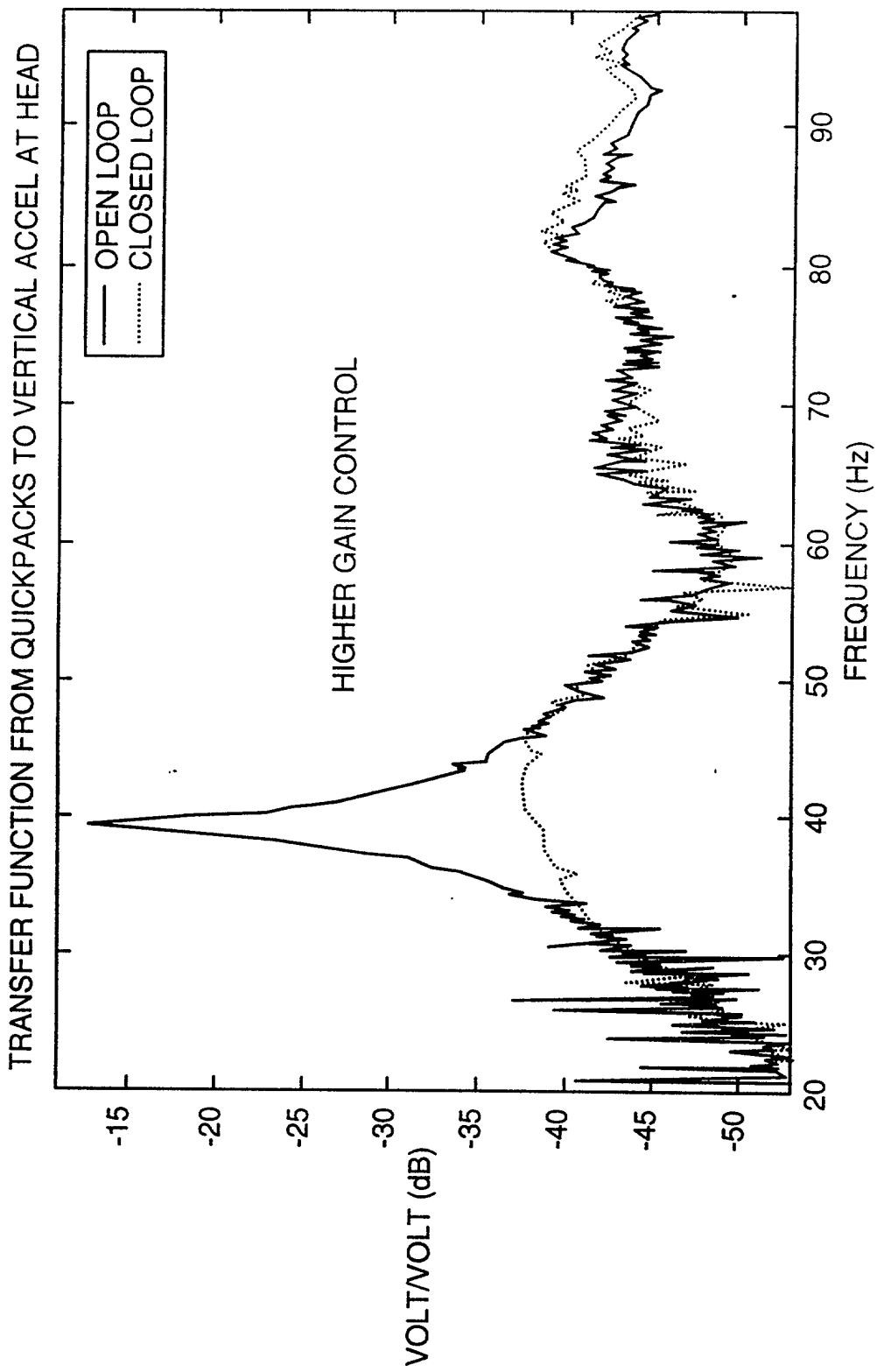


FIG. 15

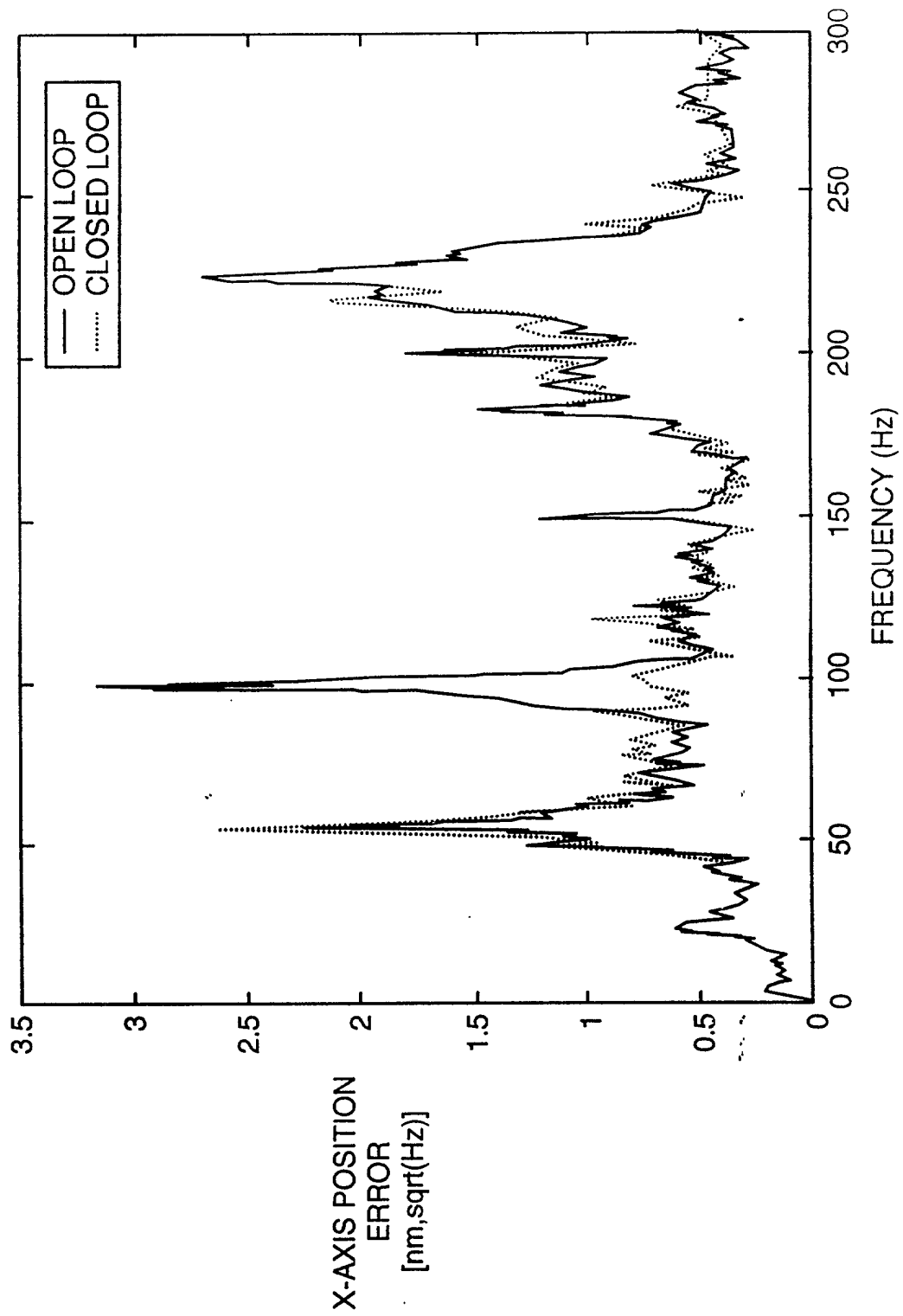


FIG. 16

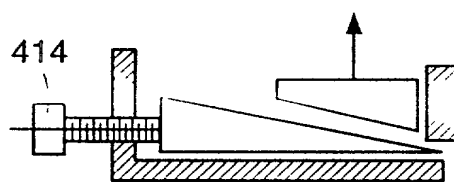


FIG. 17

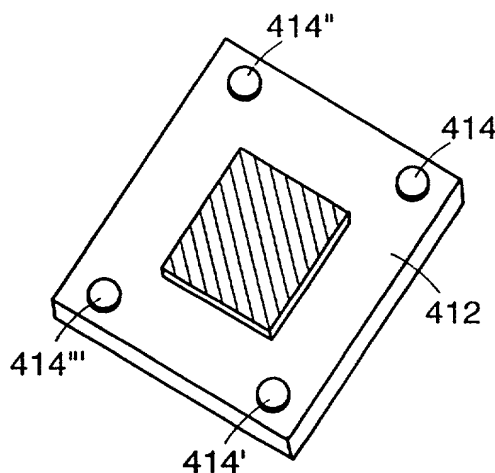


FIG. 18

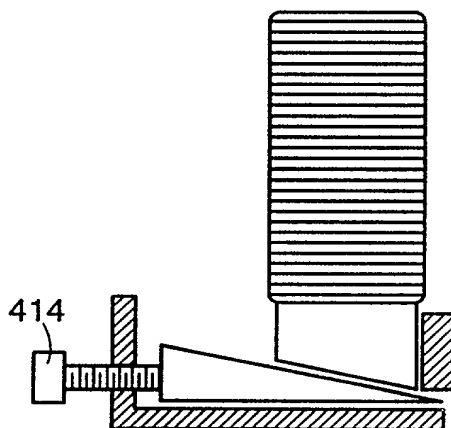


FIG. 19

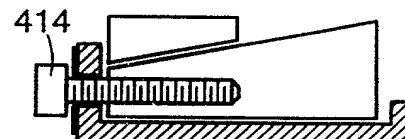


FIG. 20

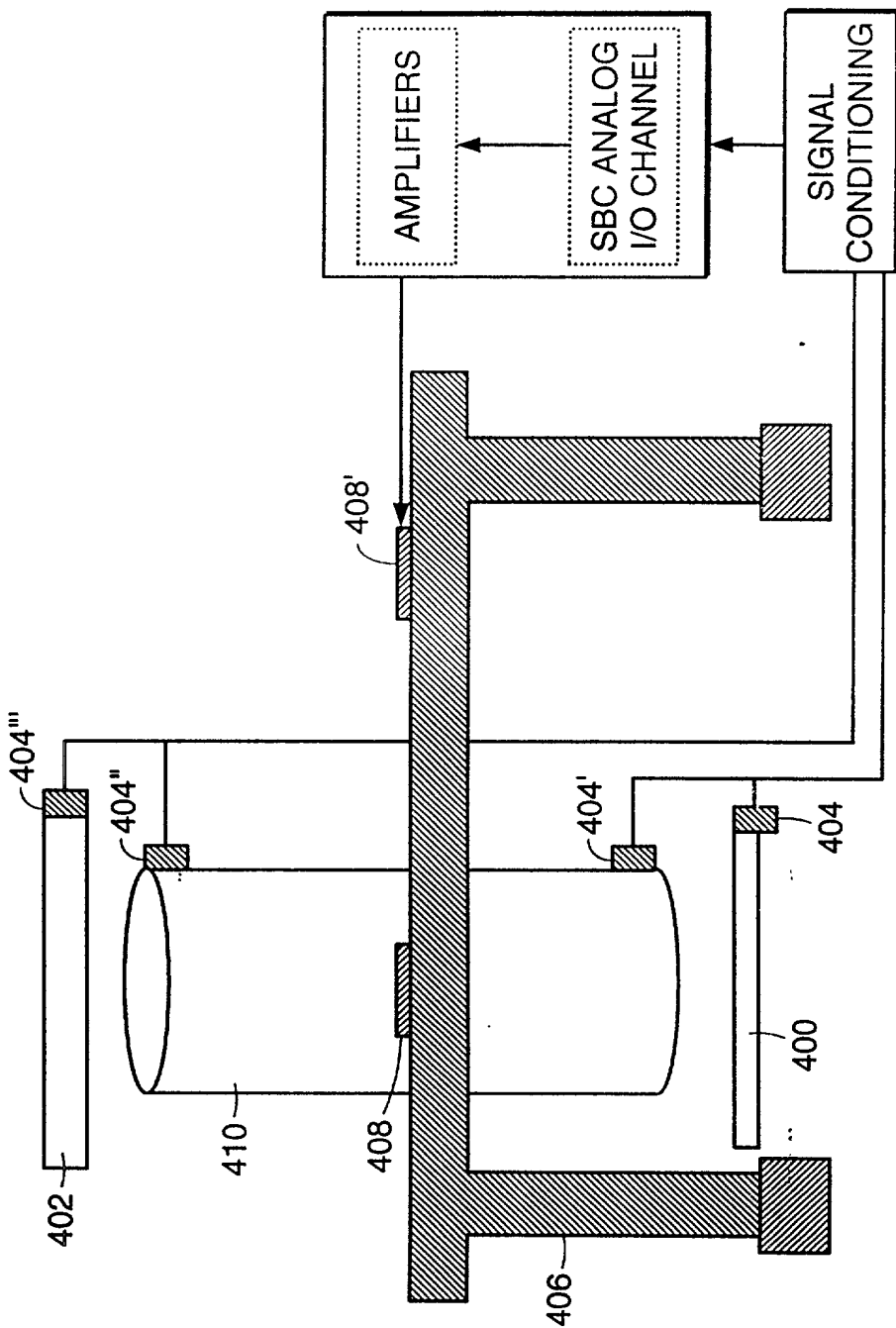
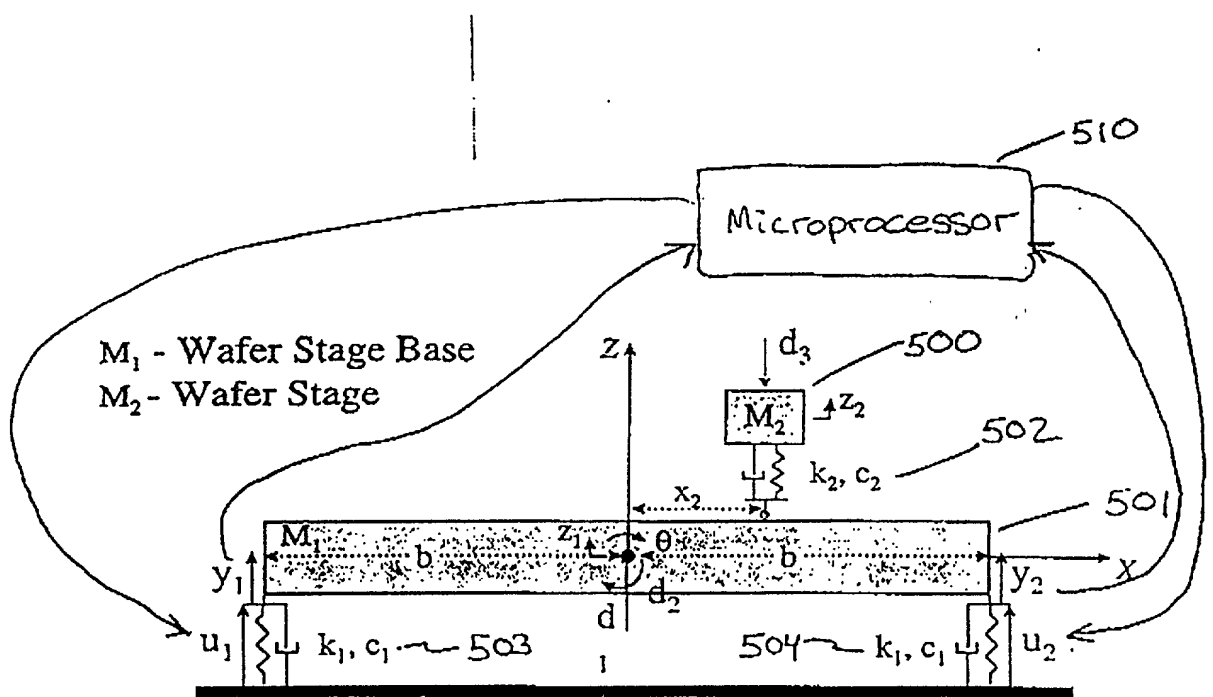


FIG. 21



- **Inputs (u_i):** Voice Coil forces on base in Z
- **Outputs (y_i):** Laser displacement measurements collocated with voice coil inputs
- **Disturbances (d_i):** Z-force and θ moment on base, Z force on stage

FIG. 22

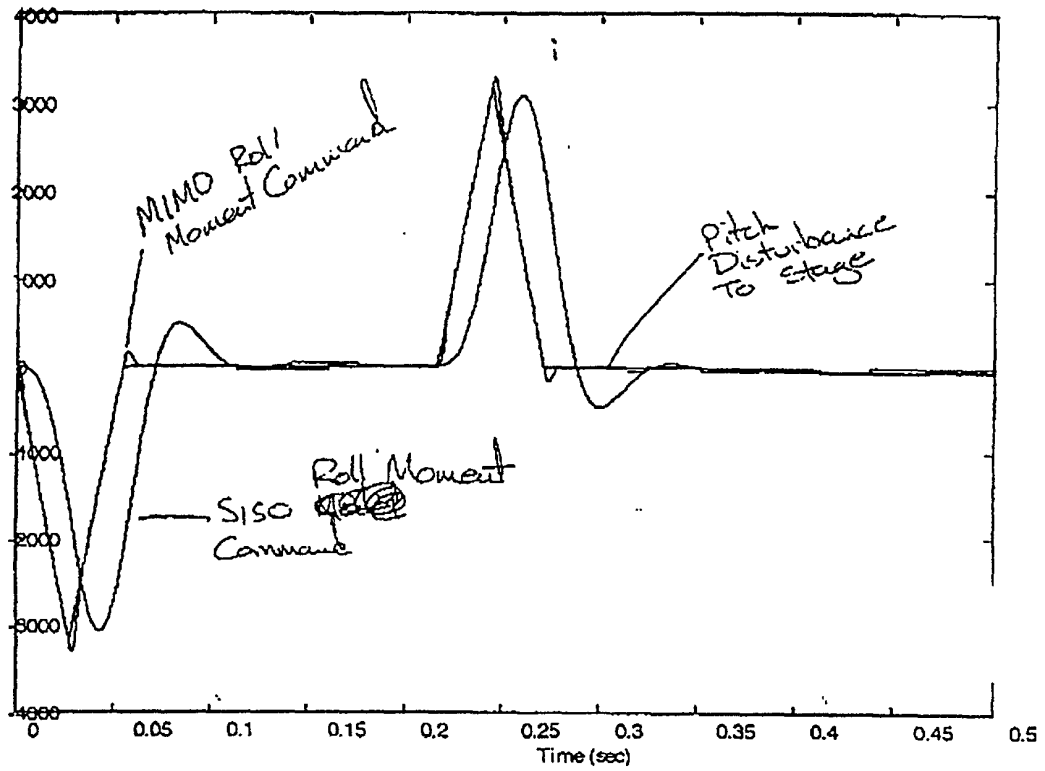


FIG. 23

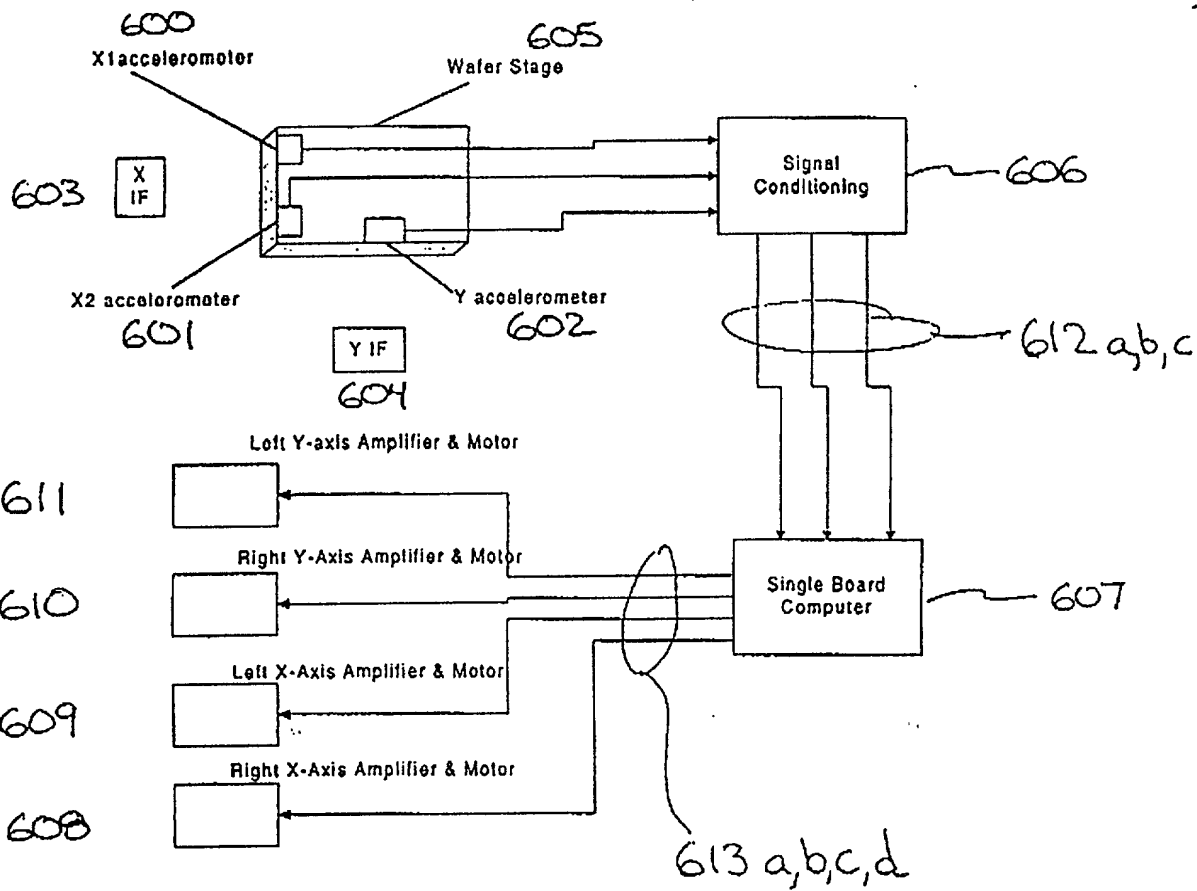


FIG. 24

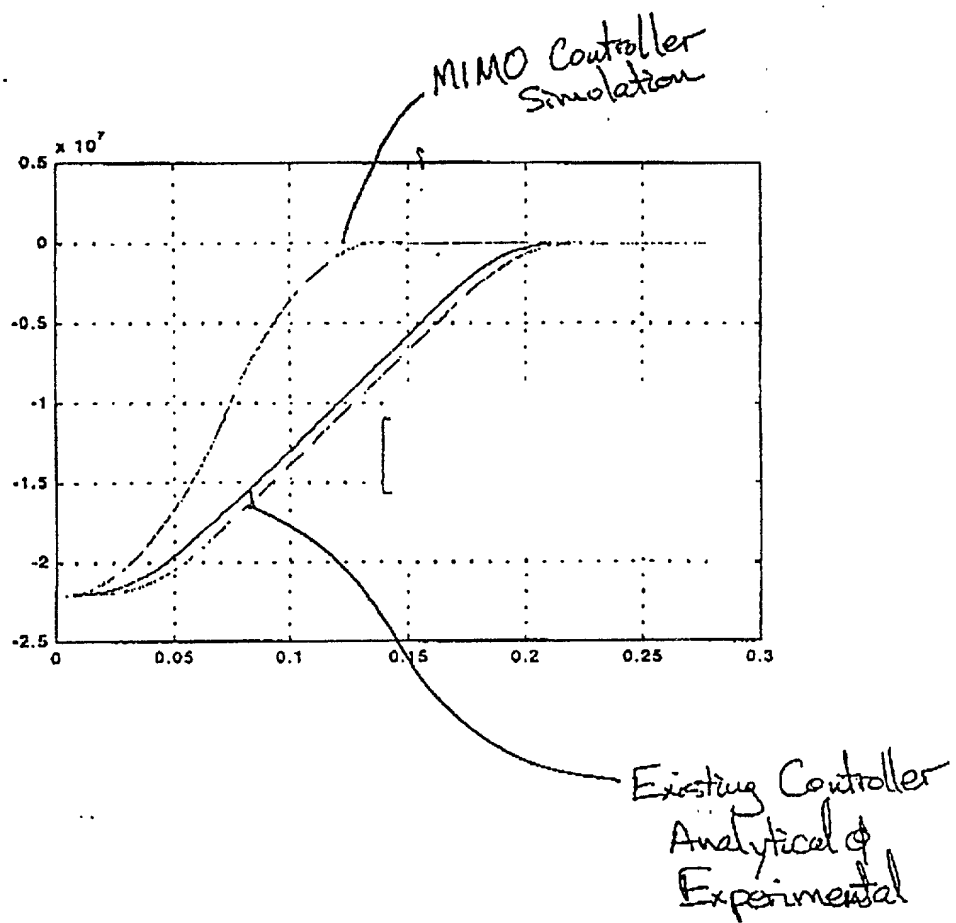


FIG. 25

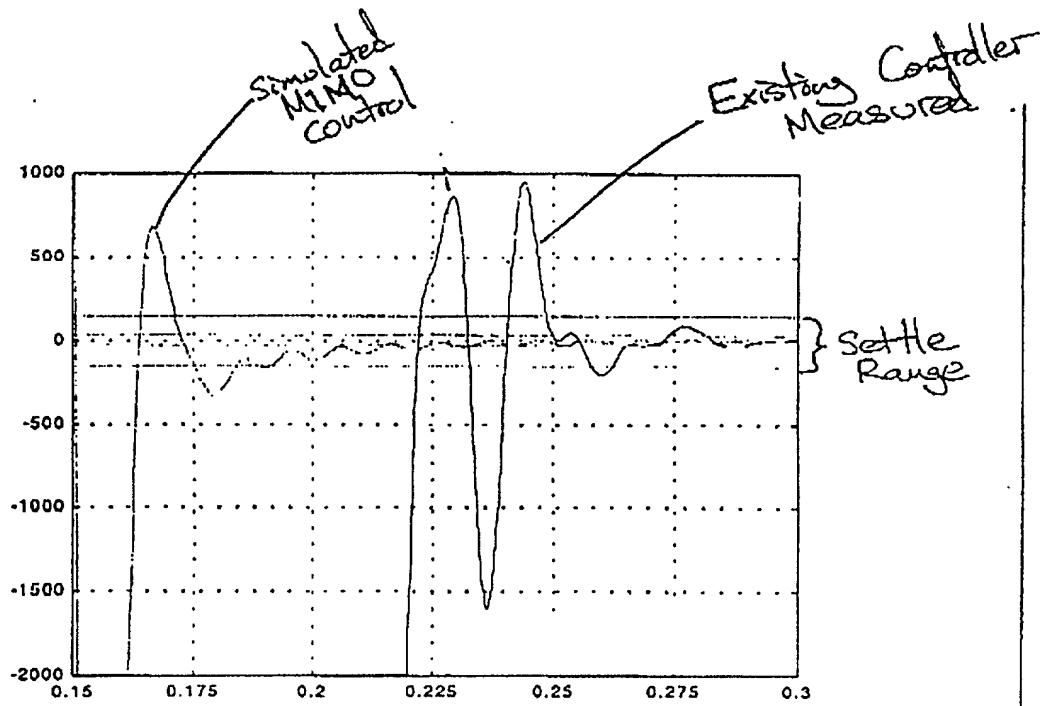


FIG. 26